



Electrospinning Technologie et application

Edith Laux, Laure Jeandupeux, Alexandra Kaempfer-Homsy, Stefan Ramsayr, and Herbert Keppner



Table des matières

- Historique
- Principe de base
- Théorie, compréhension et maîtrise
 - Vitesse et diamètre du jet
 - Influence de la concentration
- Résultats
- Applications

Historique

16e siècle: William Gilbert observe l'émission de gouttelettes d'eau à proximité d'une

pièce d'ambre électriquement chargée.

1887: C.V. Boys:« the old, but little known experiment of electrical spinning » extraction de fibres de cire, Shellac, cire d'abeilles, gutta-percha (1,4 trans

isoprène).

Mai 1900: J.F. Cooley: brevet: « The process of electrospinning ».

1934: A. Formhals et al. "Process and apparatus for preparing artificial threads »

U.S. Patent 1,975,504; Octobre 2, 1934.

1938: Nathalie D et I. V. **Petryanov-Sokolov**: fibres par electrospinning de acetate

de cellulose, pour faire des filtres dans les masques à gaz anti-fumées. En

1960 la production de 20 millions m² / année ont été revendiquées.

1964: Geoffry Ingram **Taylor** présente la théorie pour l'electrospinning;

« Disintegration of water drops in an electric field; Proc. Roy. Soc. A 280

(1382): 383» la déformation caractéristique de la goutte s'appelle le cône de

Tailor.

Cooley, J.F. Patent GB 06385

"Improved methods of and apparatus for electrically separating the relatively volatile liquid component from the component of relatively fixed substances of composite fluids" 19th May 1900

No. 692,631.

Patested Feb. 4, 1902.

J. P. COULEY.

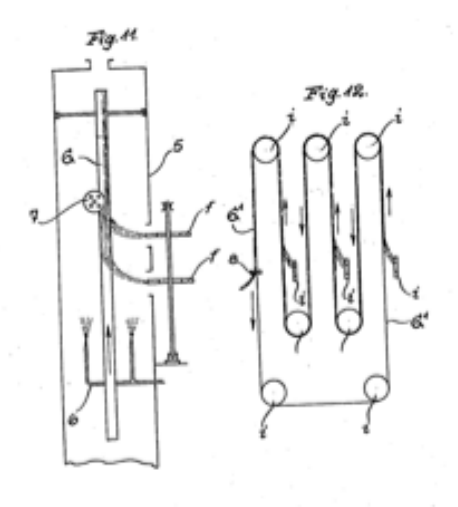
(Application 63rd Cot. 6, 1800. Reserved June 8, 1900.)

(No Model.) 2 Shee

A. Formhals *et al.* "Process and apparatus for preparing artificial threads » U.S. Patent 1,975,504; Octobre 2, 1934

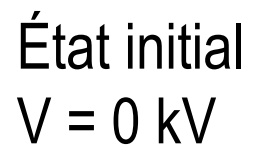
Oct. 2, 1934. A FORMHALS 1,975,504 PROCESS AND AFFARATUS FOR PREPARING ASTIFICIAL THREADS Original Filed Dec. 5, 1930 3 Sheets-Sheet 1	Oct. 2, 1934. A. FORMHALS 1,975,504 FROMES AND AFFARATUS FOR FREFERING ANTIFICIAL THREAD Original Filed Dec. 5, 1930 3 Sheets-Sheet 2	Oct. 2,
Fig.5	Fig. 6. Fig. 7. Fig. 8.	
Smenter	12 Fig.10	

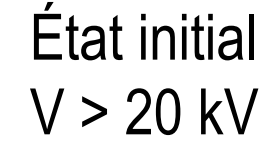
Oct. 2, 1934. A. FORMHALS 1,975,504
PROCESS AND APPARATUS FOR PREFABILIS ARTIFICIAL THREADS
Original Filed Dec. 5, 1930 3 Sheets-Sheet 3

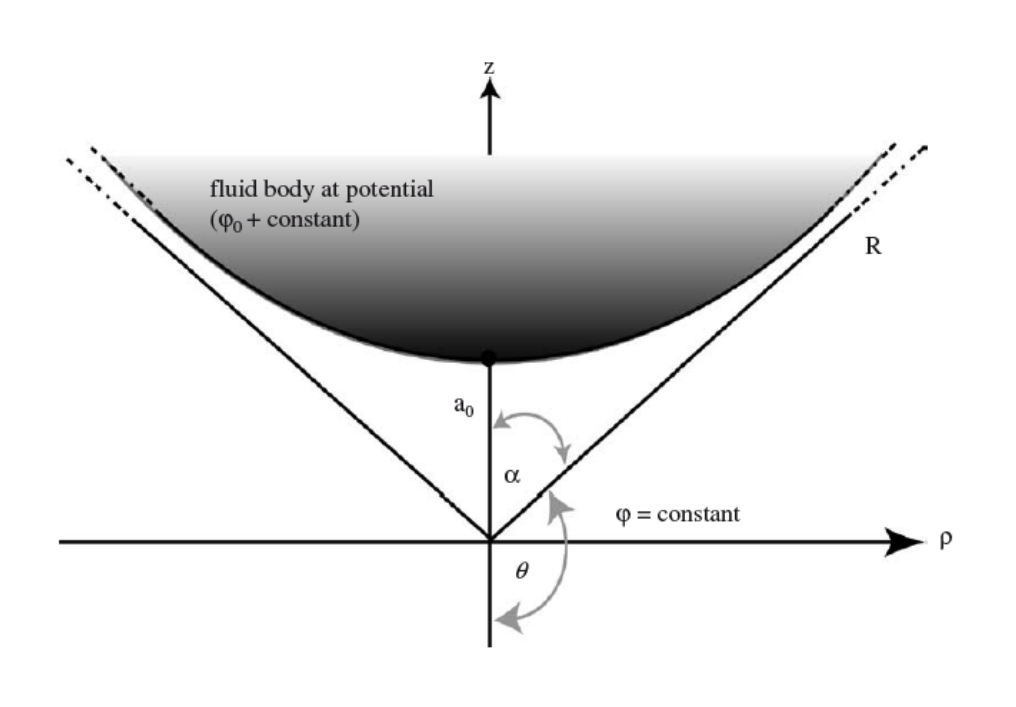


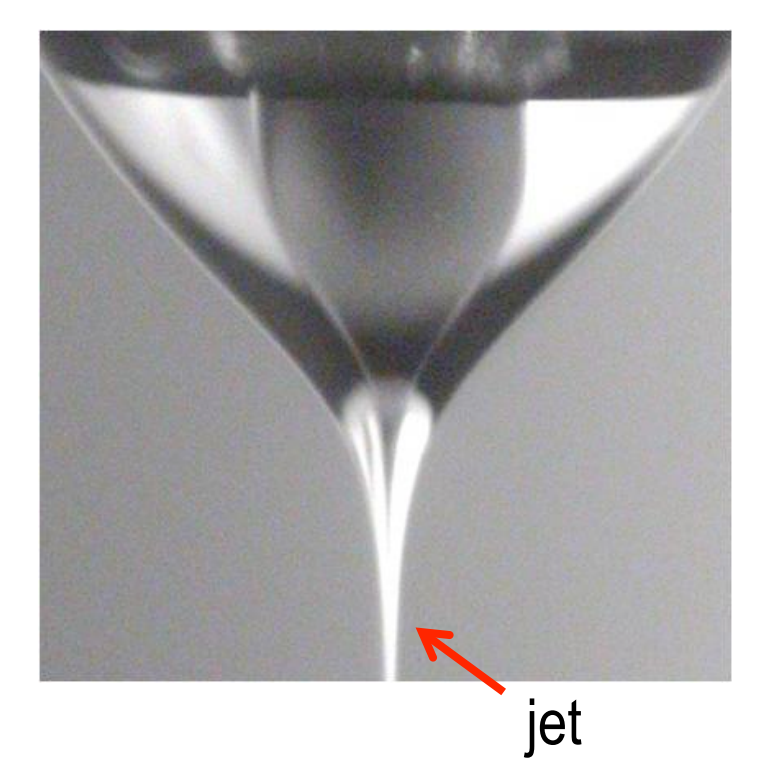
Jewer ten Jambale auton Fambale presid Take Dean Famband presid Take

Théorie, compréhension, maîtrise





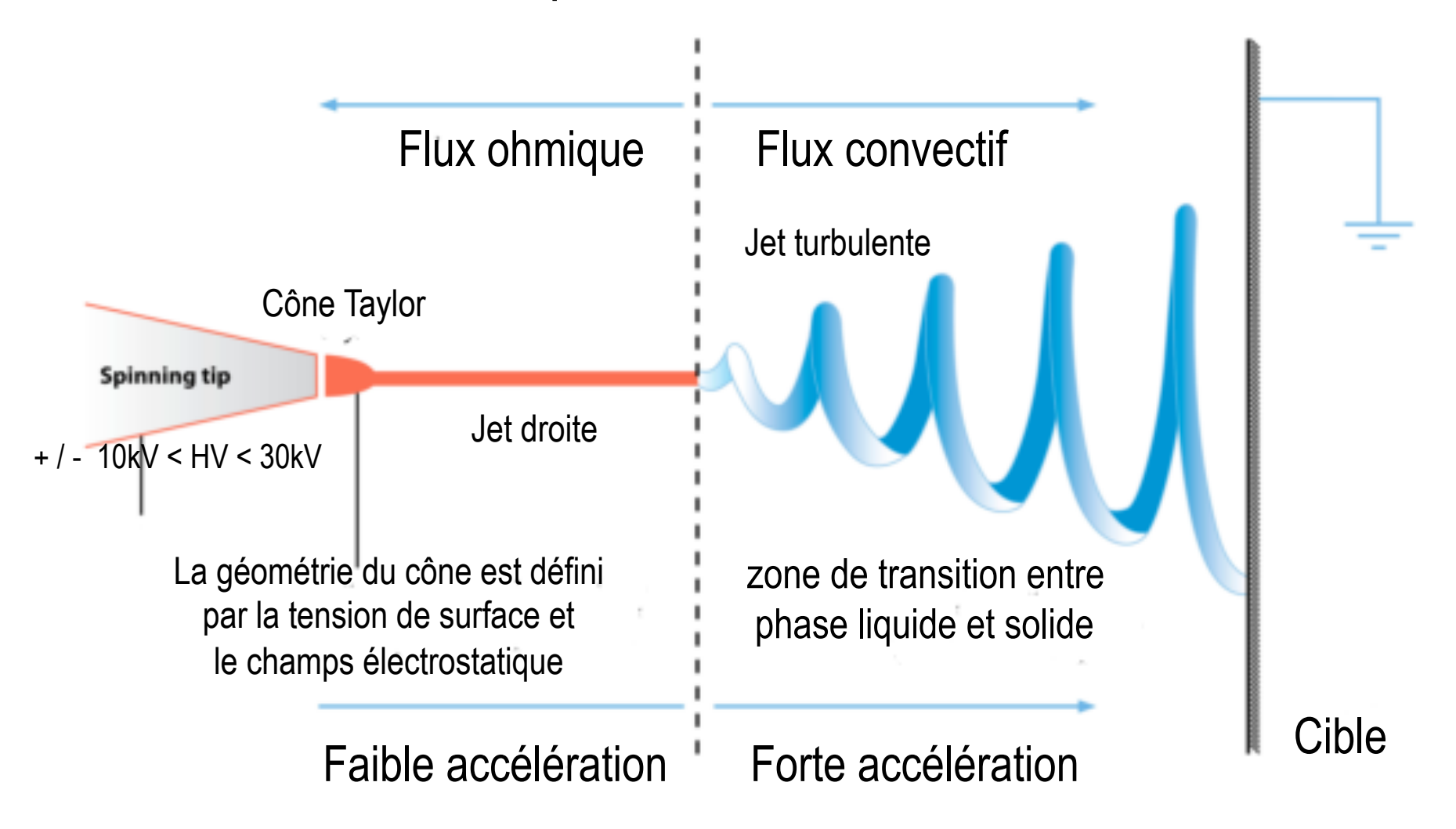




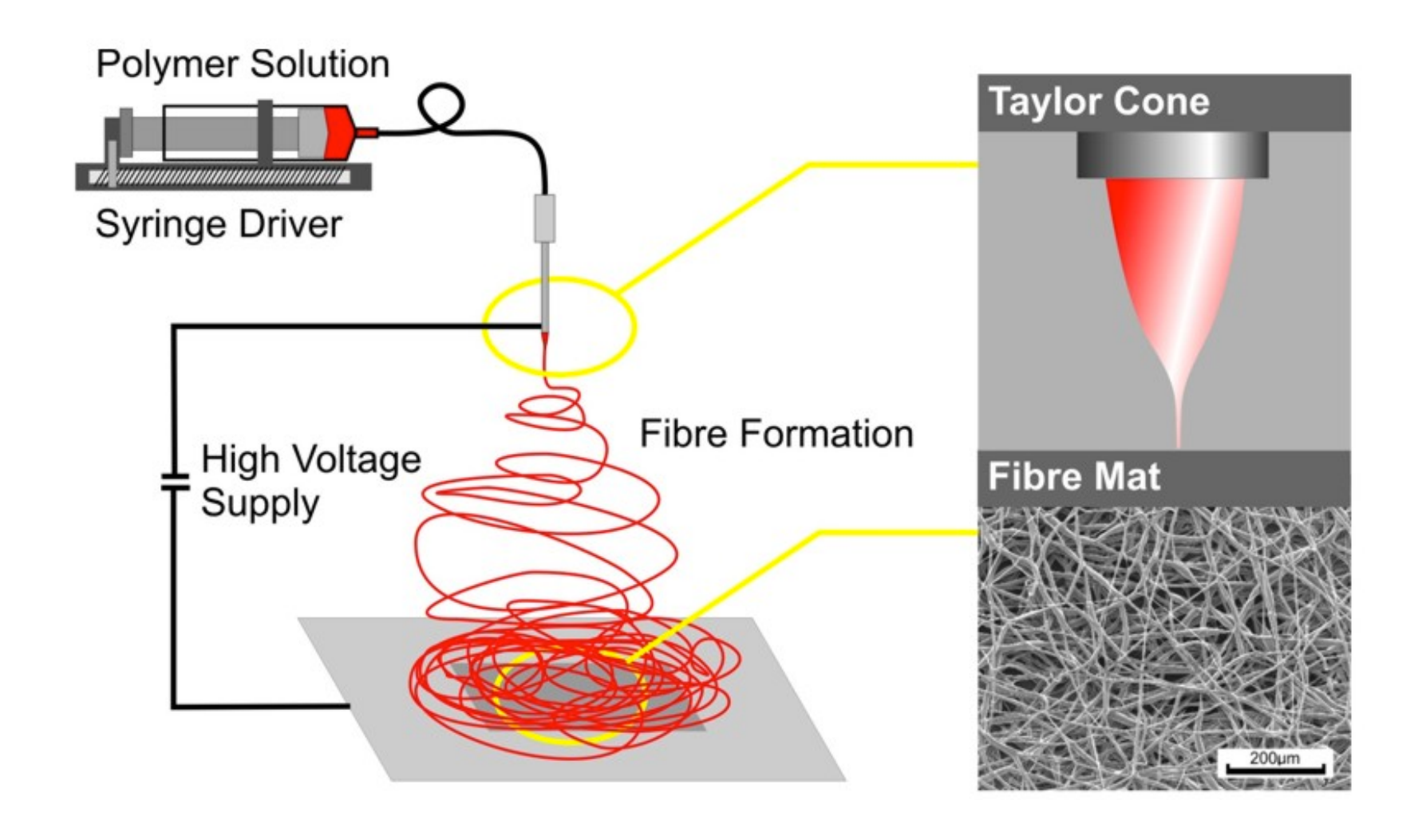
D.H. RENEKER et al. Electrospinning of Nanofibers from Polymer Solutions and Melts ADVANCES IN APPLIED MECHANICS, VOL. 41 43 ISSN 0065-2156 DOI: 10.1016/S0065-2156(06)41002-4

http://
nanotechnologysolutions.files.wor
dpress.com/2013/07/imagen31.jpg

Principe de base, observation

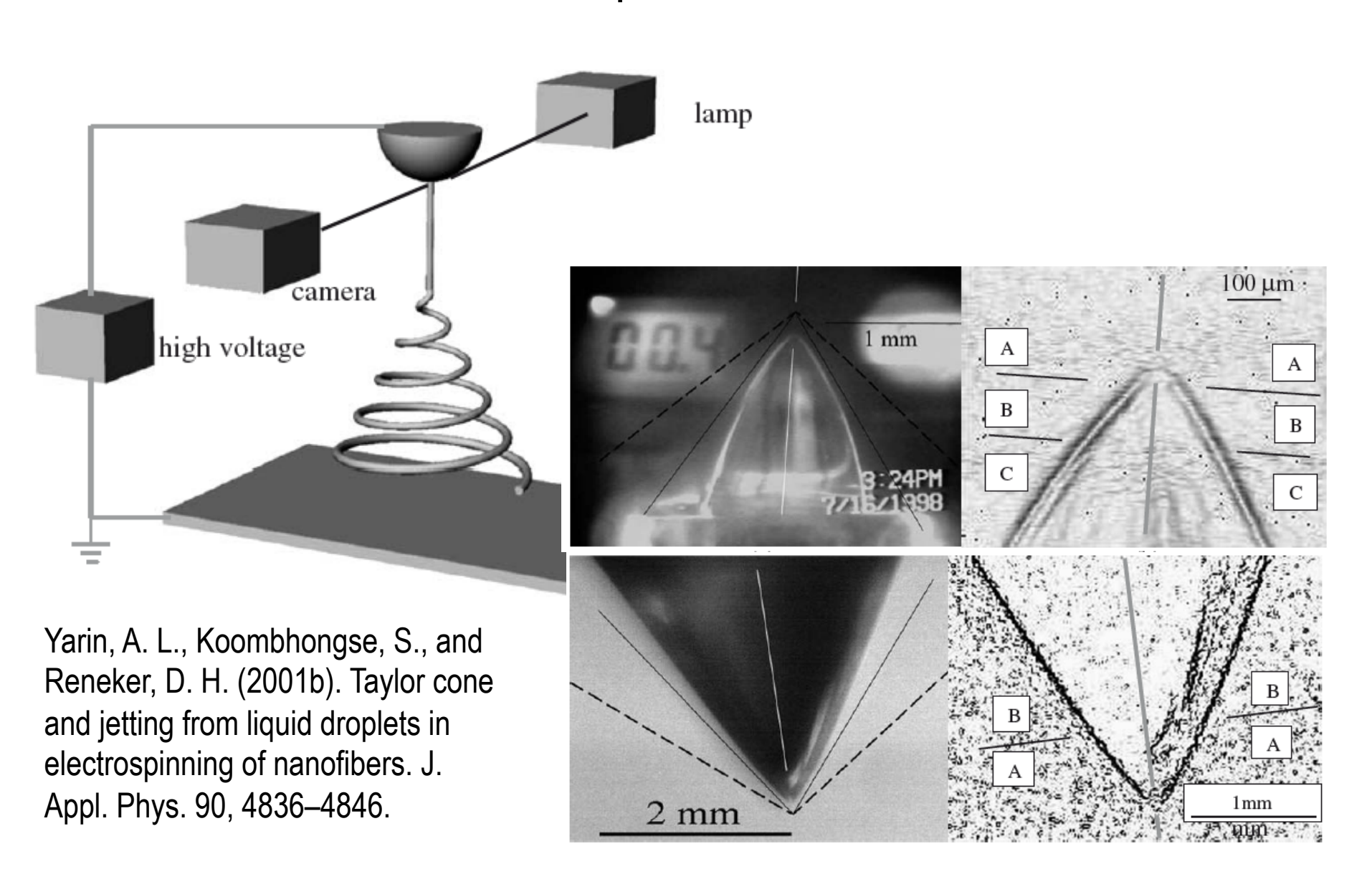


Principe de base

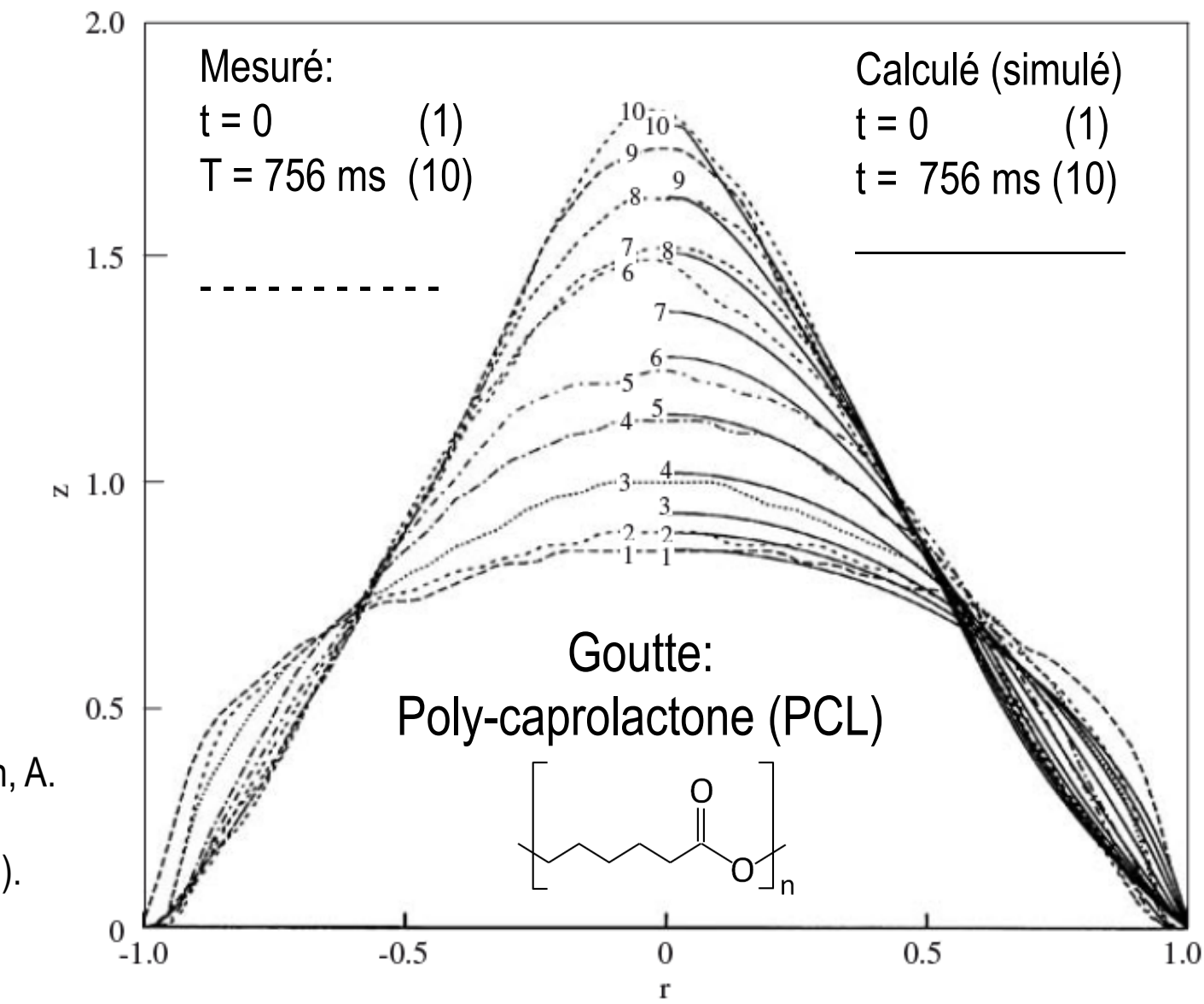


http://2.bp.blogspot.com/-w9f3G2z8a0g/UJLjHthj1hl/AAAAAAAAAEw/MmbresO7yXM/s1600/ElectrospinFigure.jpg

Théorie, compréhension, maîtrise



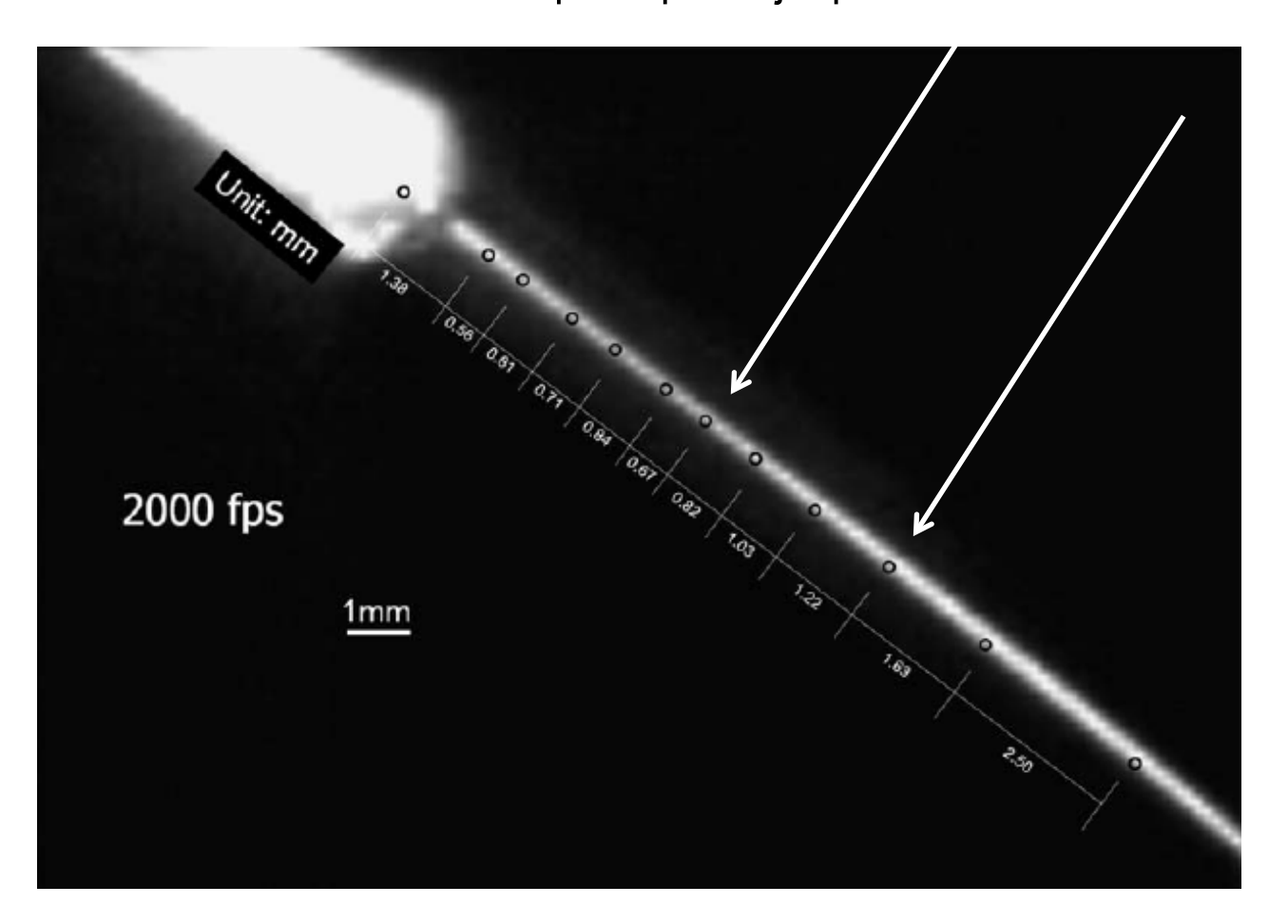
Développement de la déformation d'une goutte PCL par un champ électrique



Reznik, S. N., Yarin, A. L., Theron, A., and Zussman, E. (2004). J. Fluid Mech. 516, 349–377.

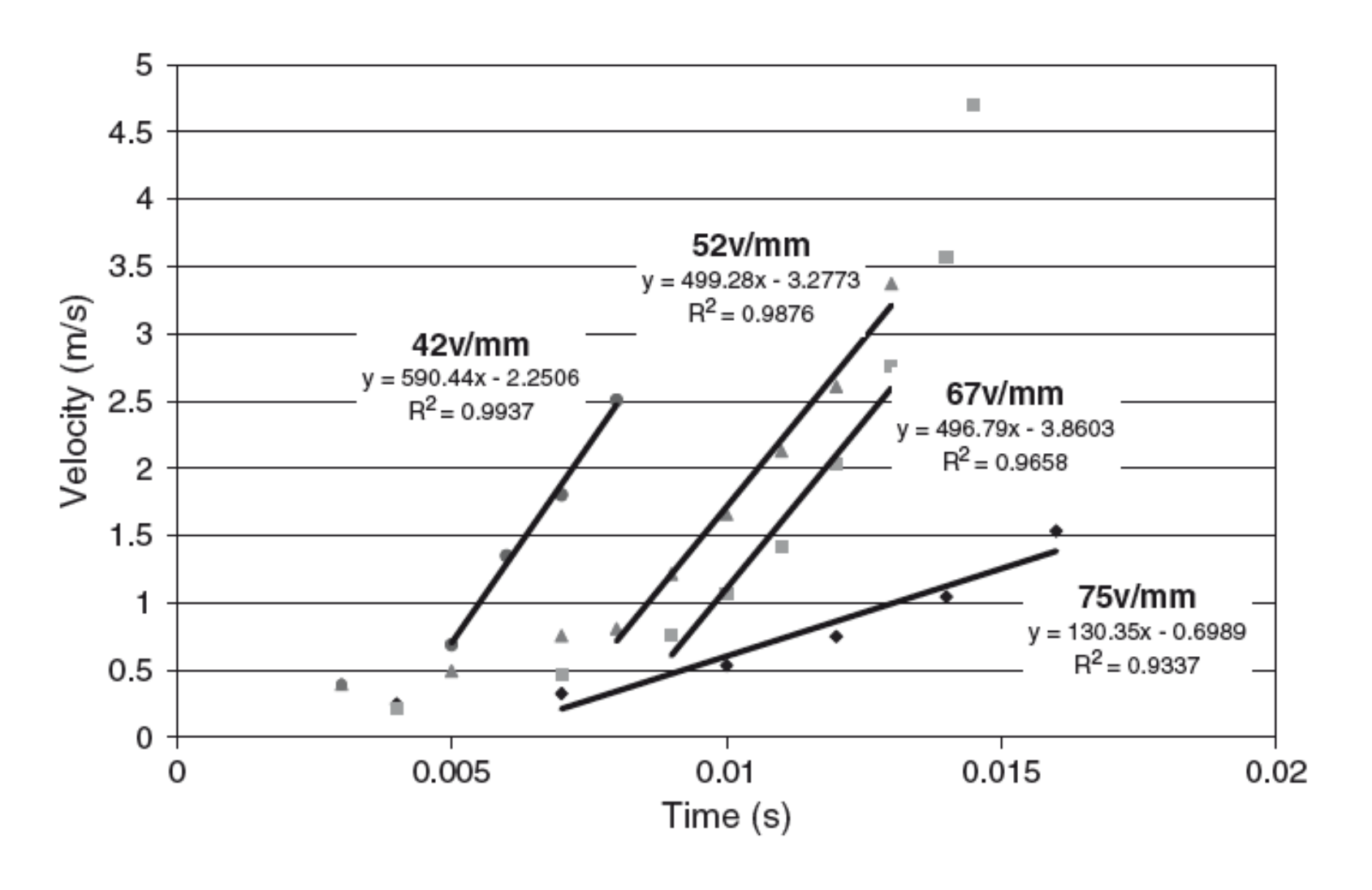
Vitesse et diamètre du jet, exemple PEO (polyethylène oxyde)

Billes en verre transporté par le jet pour mesurer la vitesse

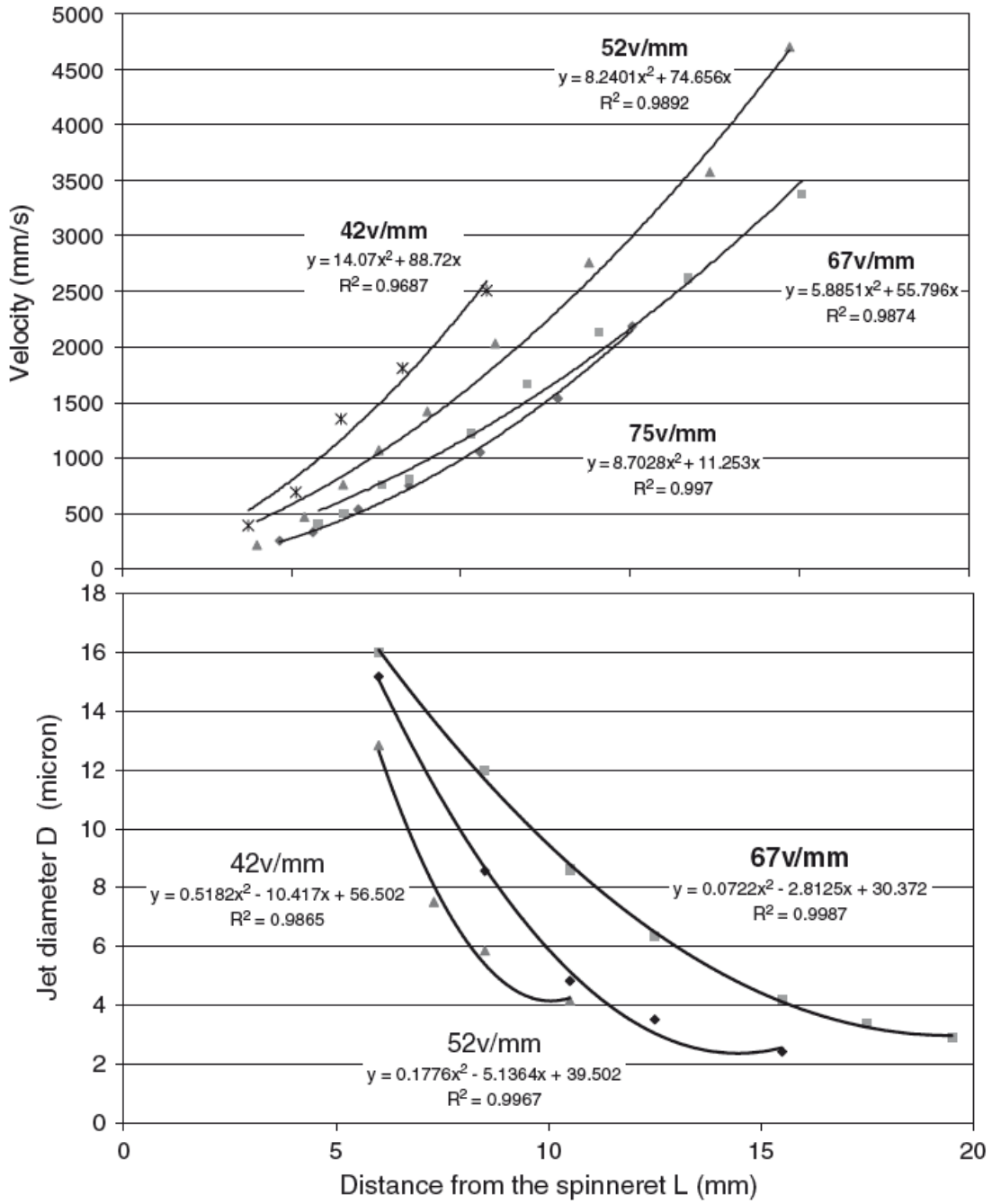


Xu, H., Yarin, A. L., and Reneker, D. H. (2003). Characterization of fluid flow in jets during electrospinning. Polym. Preprints 44, 51–52.

Vitesse et diamètre du jet, exemple PEO, jet droit



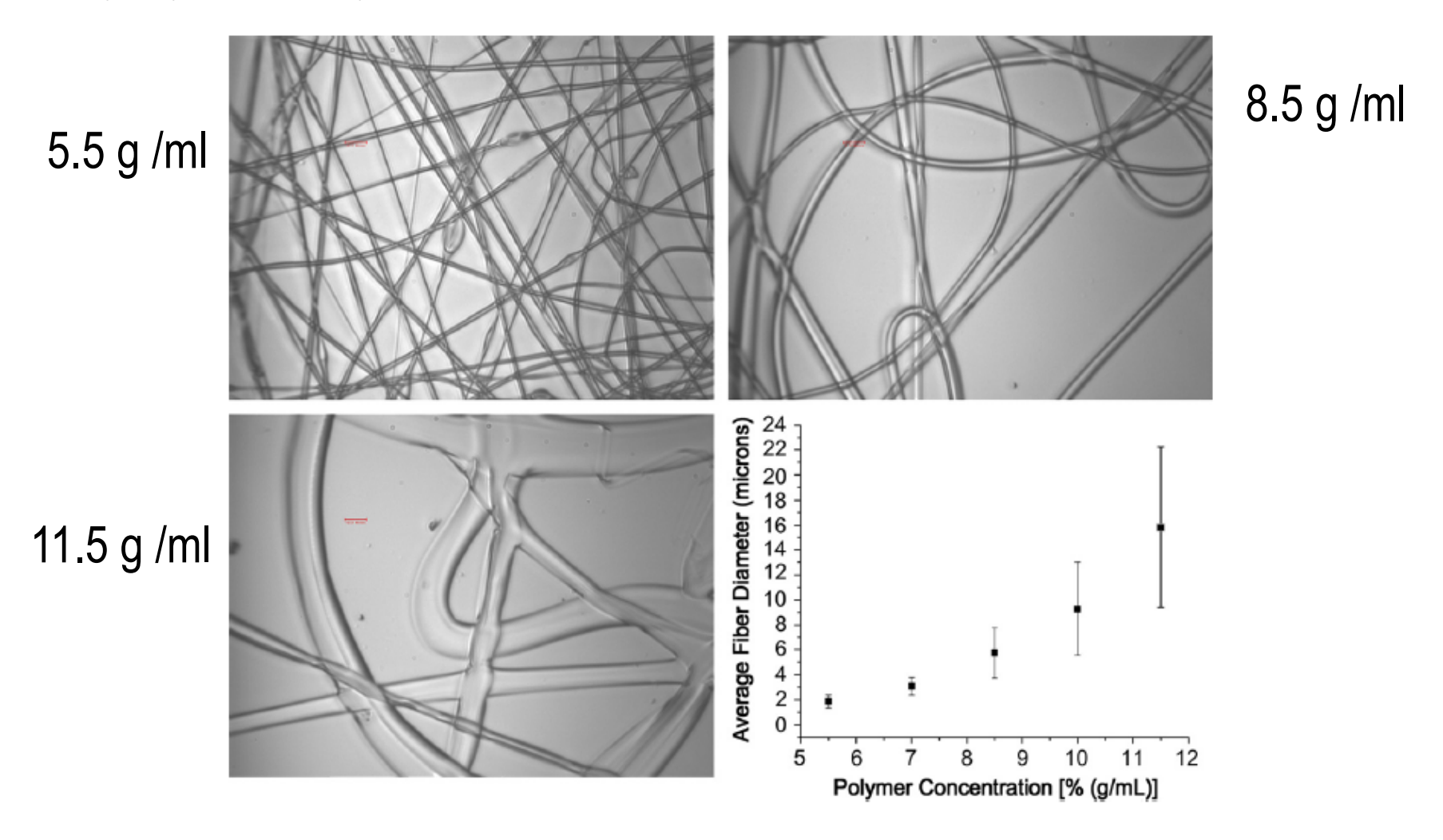
Vitesse et diamètre du jet exemple PEO jet droit



Xu, H., Yarin, A. L., and Reneker, D. H. (2003). Characterization of fluid flow in jets during electrospinning. Polym. Preprints 44, 51–52.

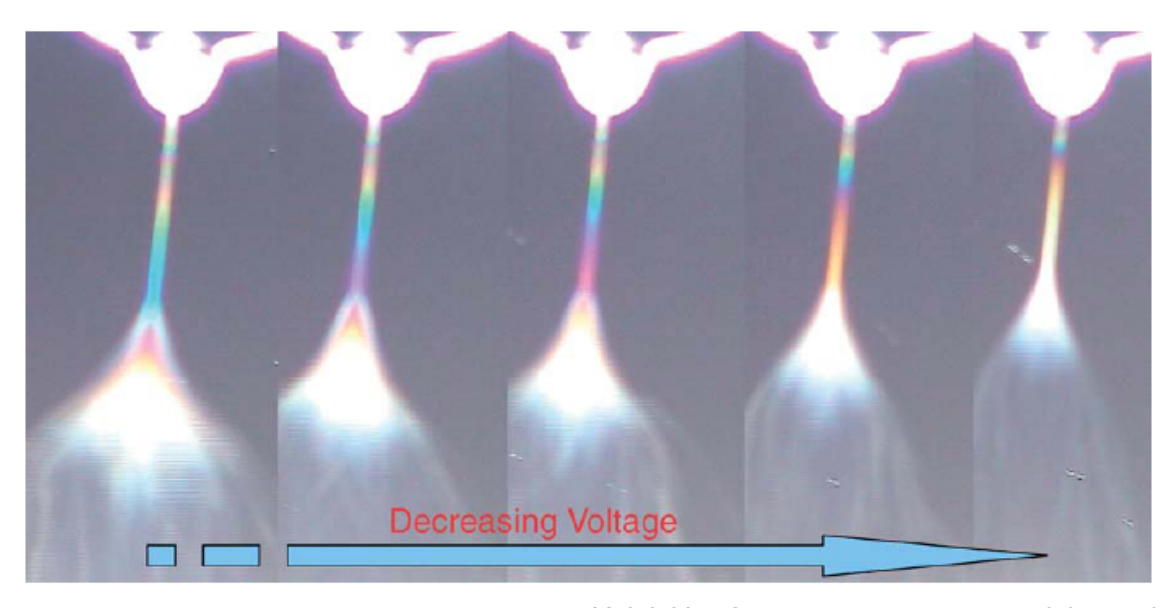
Influence de la concentration

Polyethylene co-vinyl alcohol dans 70:30 2-propanol

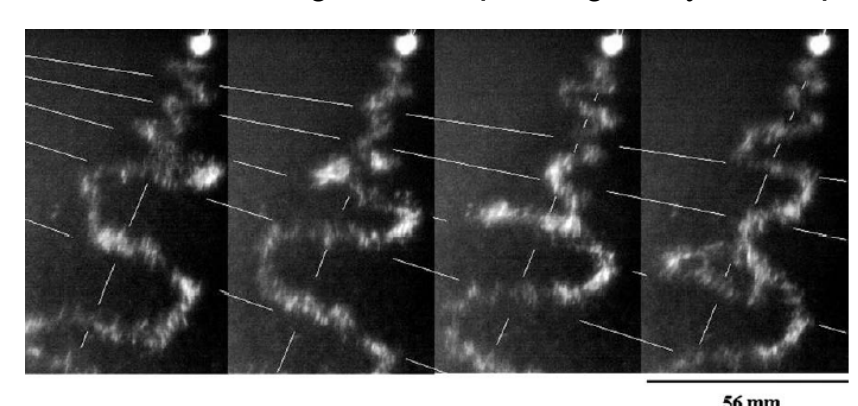


Megelski S, Stephens JS, Chase DB, Rabolt JF.; Macromolecules 2002 Oct 22;35(22):8456e66.

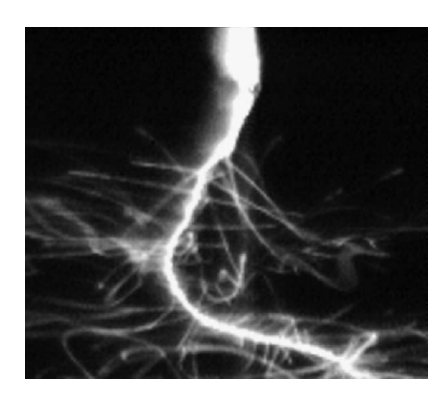
Flux convectif: bifurcation des jets



Xu, H., Yarin, A. L., and Reneker, D. H. (2003). Characterization of fluid flow in jets during electrospinning. Polym. Preprints 44, 51–52.



Guirlande de 15% PCL solution 7.5 kV, 140mm gap (Reneker, et al. Polymer 43, 6785–6794.)



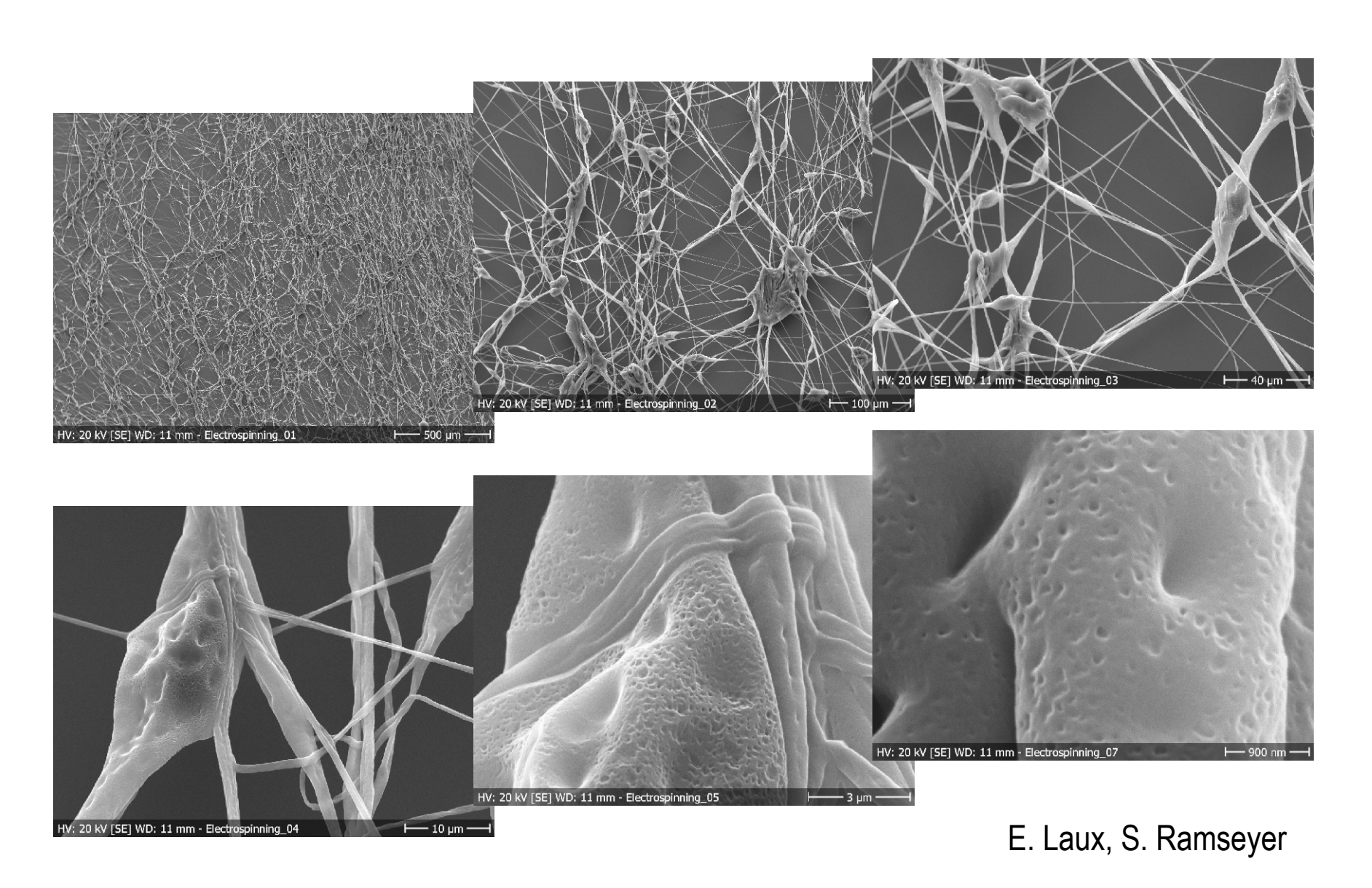
Bifurcation 15% PCL solution 10 kV (Yarin et al., J. Appl. Phys. 98, 064501.)

Conclusion intermédiaire

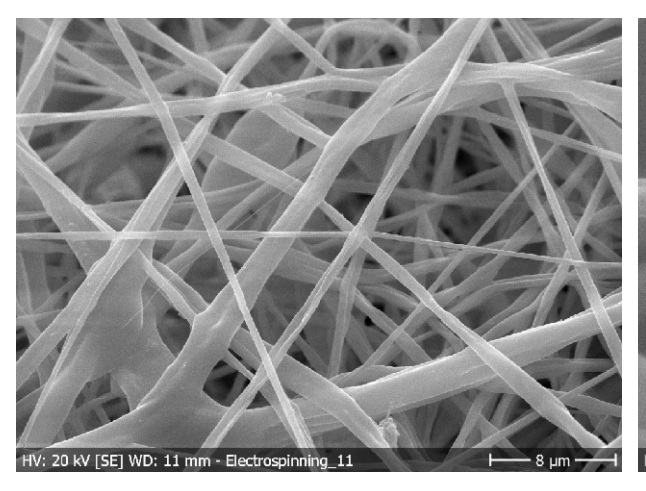
- Il est possible d'effectuer de l'électrospinning avec touts les matériaux condensables, notamment des polymères en solution, des sol-gels et des matériaux fondus.
- Le diamètre des fibres et l'arrangement est une fonction de la tension appliquée (typiquement entre 10kV et 30 kV), de la distance entre l'éjecteur et l'écran, du type de matière, des additifs.
- La viscosité du liquide « spinnable » contenant des solvants + précurseurs est typiquement entre 0.8 Pa·s et 4 Pa·s (800 centipoise et 4000 centipoise).

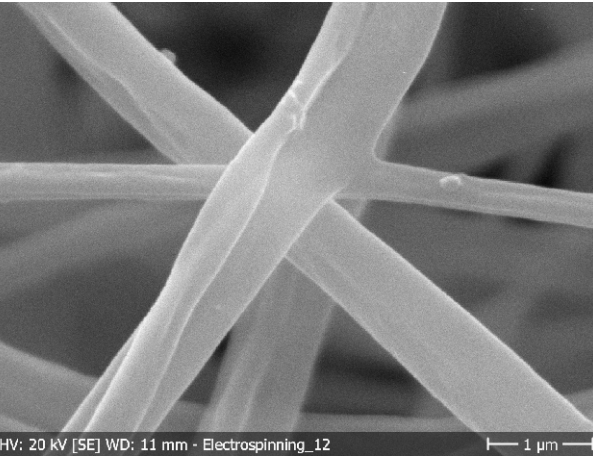
Résultats

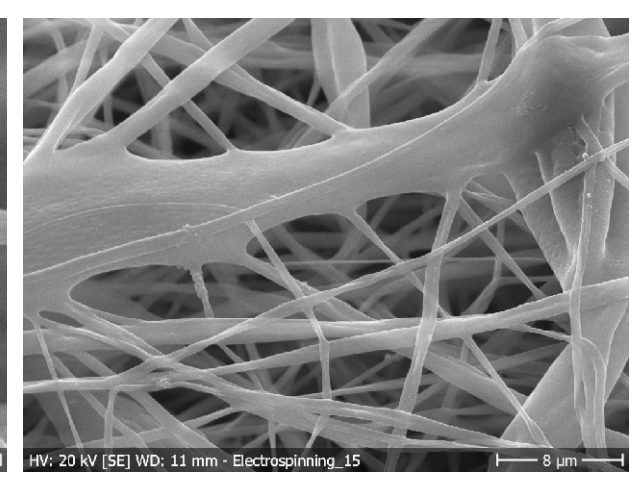
HE-ARC travaux pratiques, THV 20 (Dyneon) / Acétone

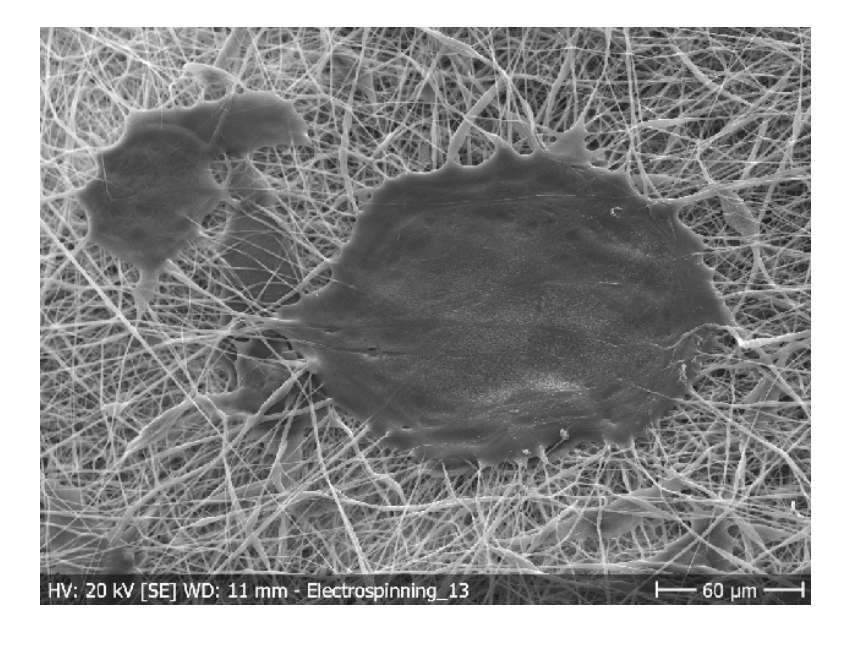


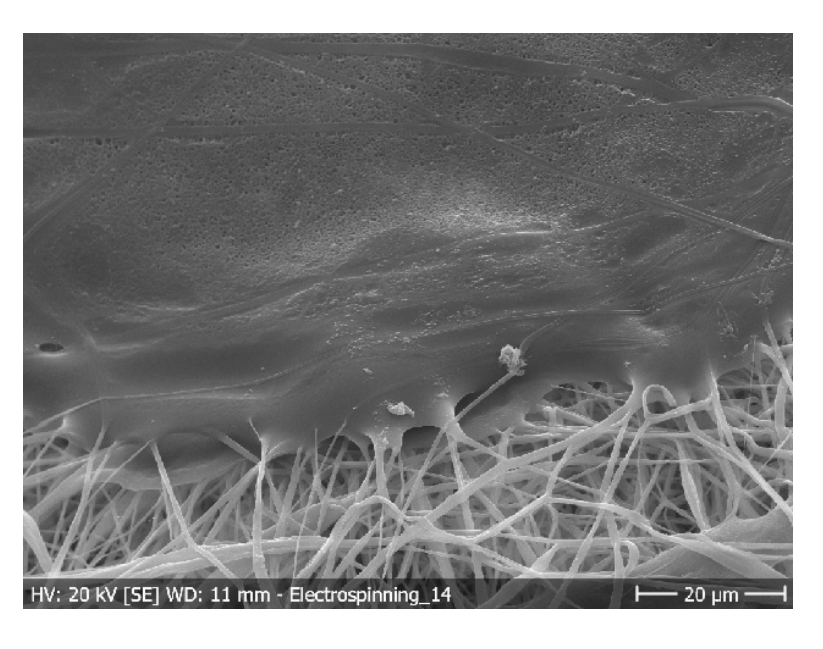
Observations



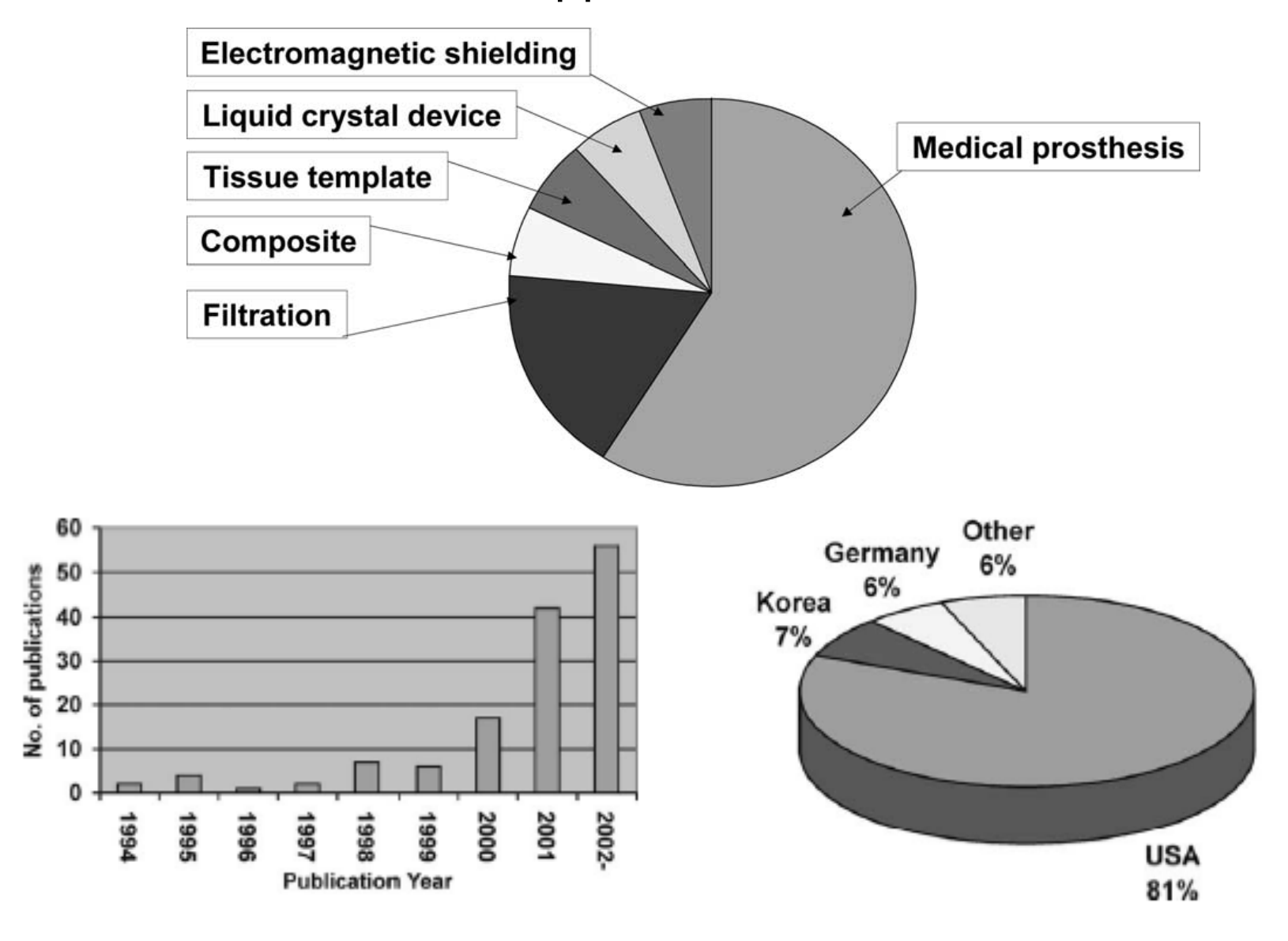






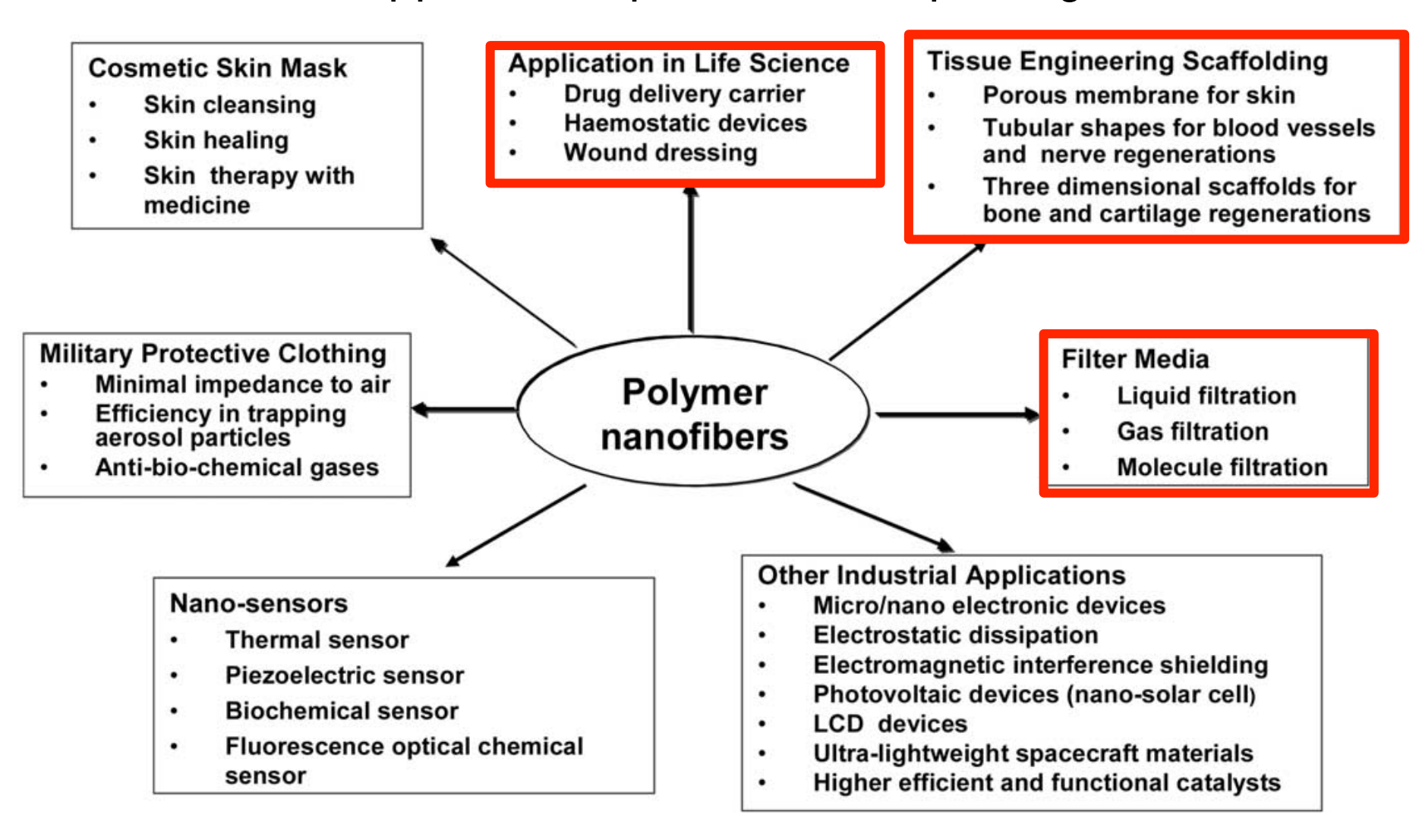


Applications



Z.-M. Huang et al. / Composites Science and Technology 63 (2003) 2223–2253

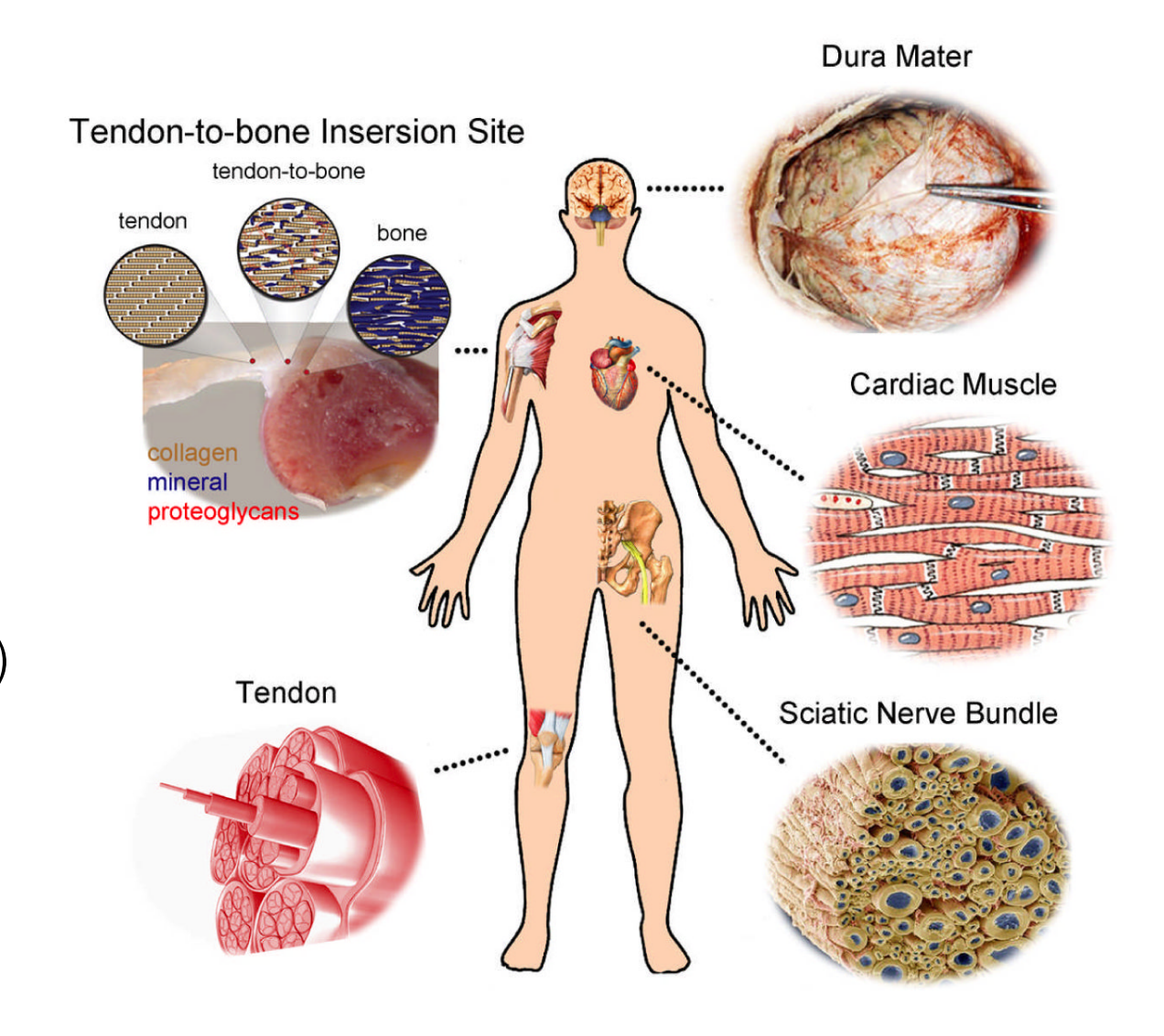
Applications pour l'électrospinning



Applications dans la médecine régénérative

Des différentes organes montrent des structures cellulaires caractéristiques.

La grande variation des structures réalisés par electrospinning permettent d'adapter les structures pour favoriser la croissance (prolifération et différentiation) des cellules spécifiques (structures scaffold)



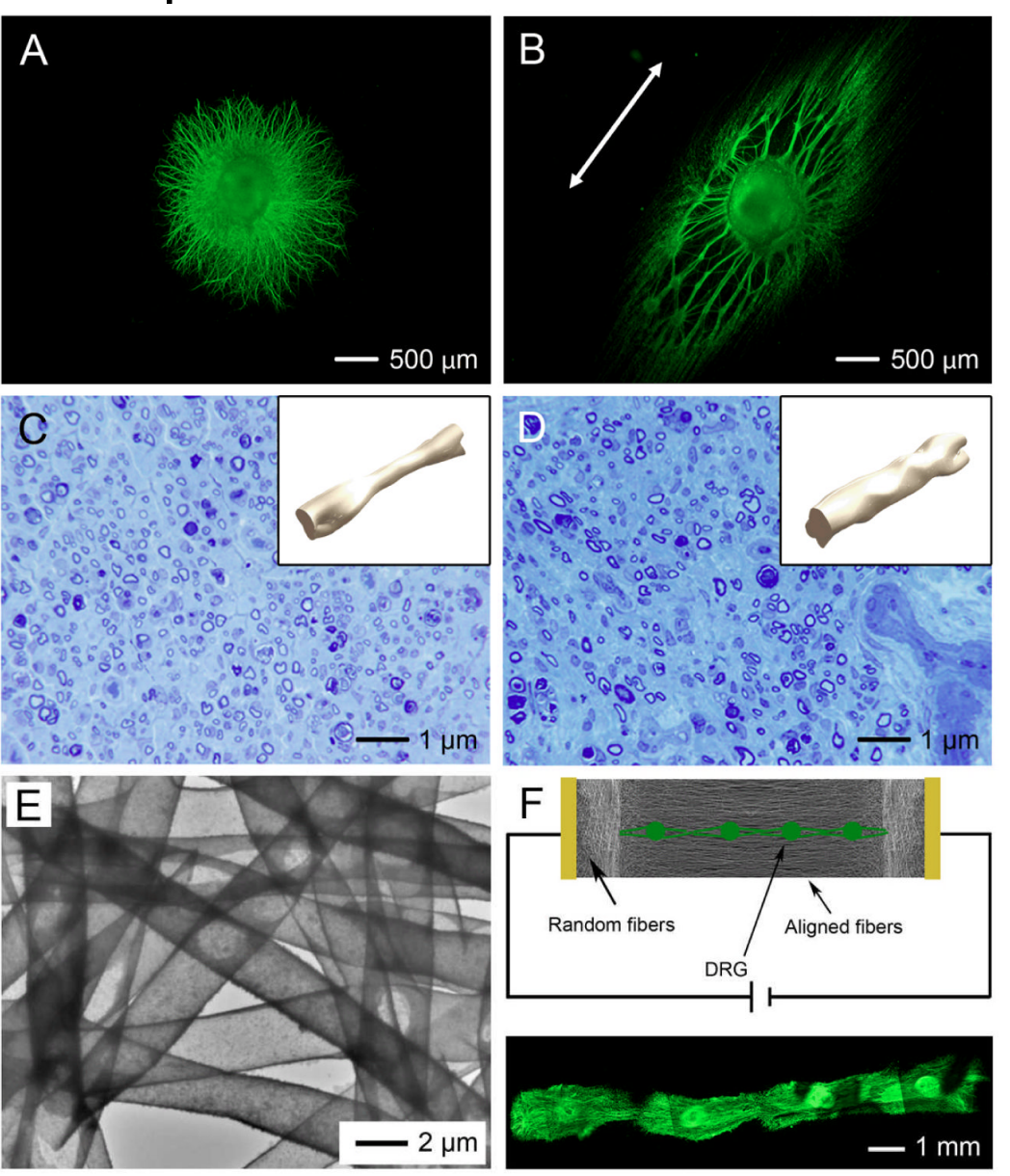
Wenying Liu et al., Adv Healthc Mater. 2012 January 11; 1(1): 10–25. doi:10.1002/adhm.201100021.

Ganglion spinaux de poulet (DRG); croissance dans un scaffold aléatoire (A) Un scaffold orienté par electrospinning

Section à travers des cellules DRG dans une structure de scaffold aléatoire (C) et des cellules conduit conduit par un scaffold de poly(3-caprolactone) nanofibers fait par electrospinning (D)

Stimulation électrique de DRG culturs sur des PPY nanofibres alignés mène à une meilleure connection intraneural (E, F)

exemples

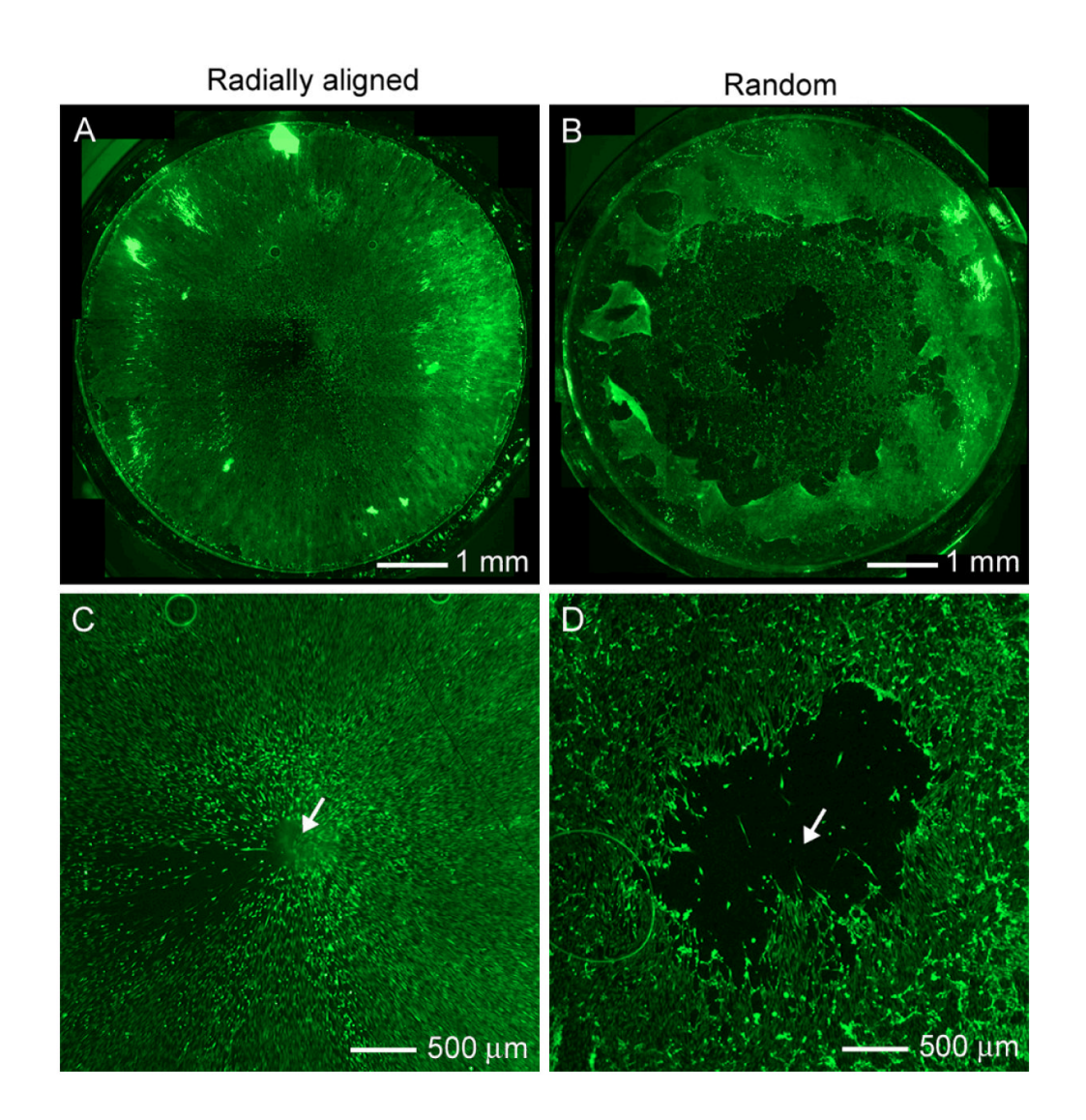


Xie J, MacEwan MR, Schwarz AG, Xia Y. Nanoscale. 2010; 2:35. [PubMed: 20648362]

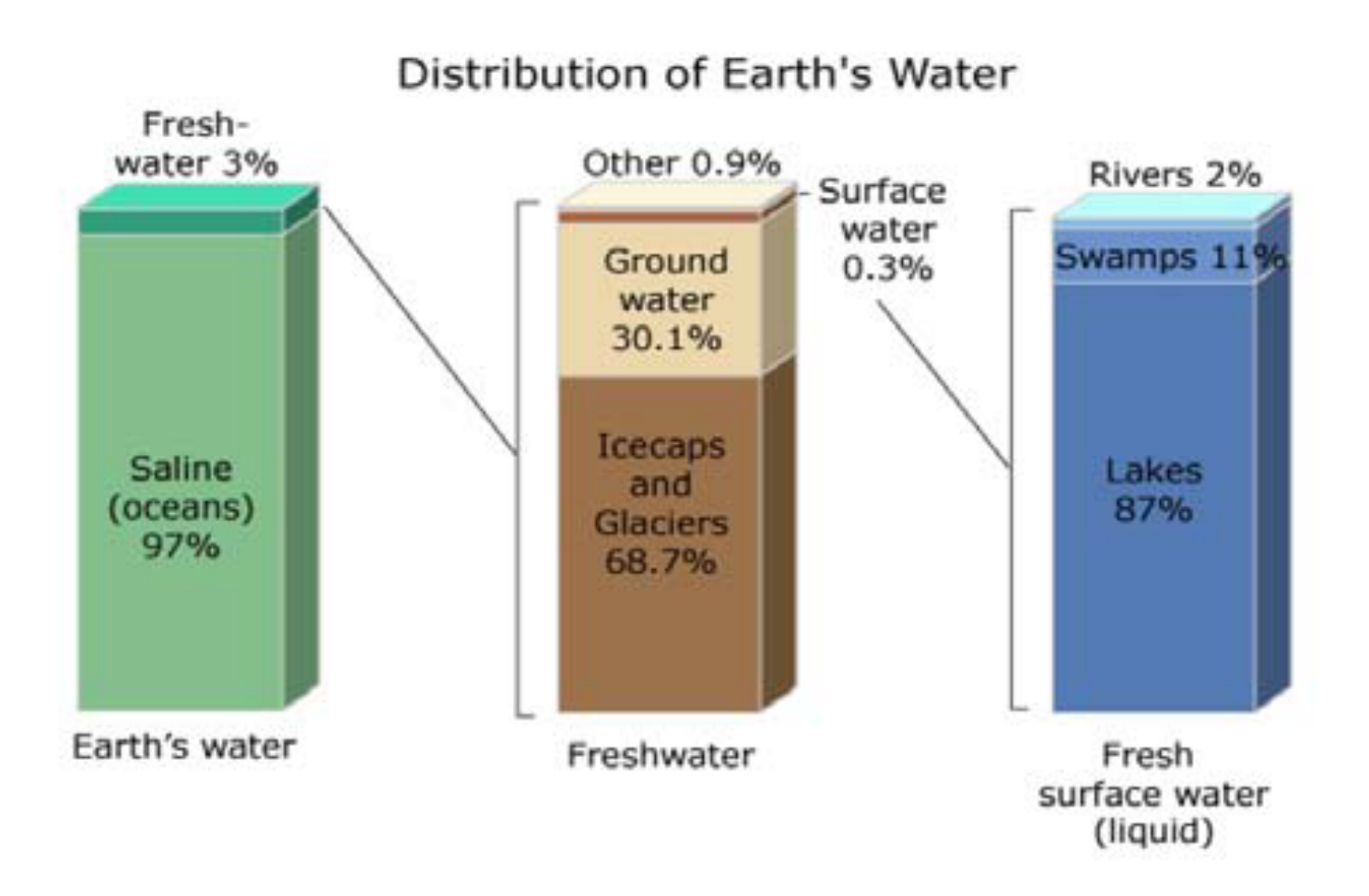
Plus d'exemples

Micrographe de fluorescence observant la réparation de dura mater: A: sur des structures radialement alignés, B des structures non-alignées.

Xie J, MacEwan MR, Li X, Sakiyama-Elbert SE, Xia Y. ACS Nano. 2009; 3:1151. [PubMed: 19397333]

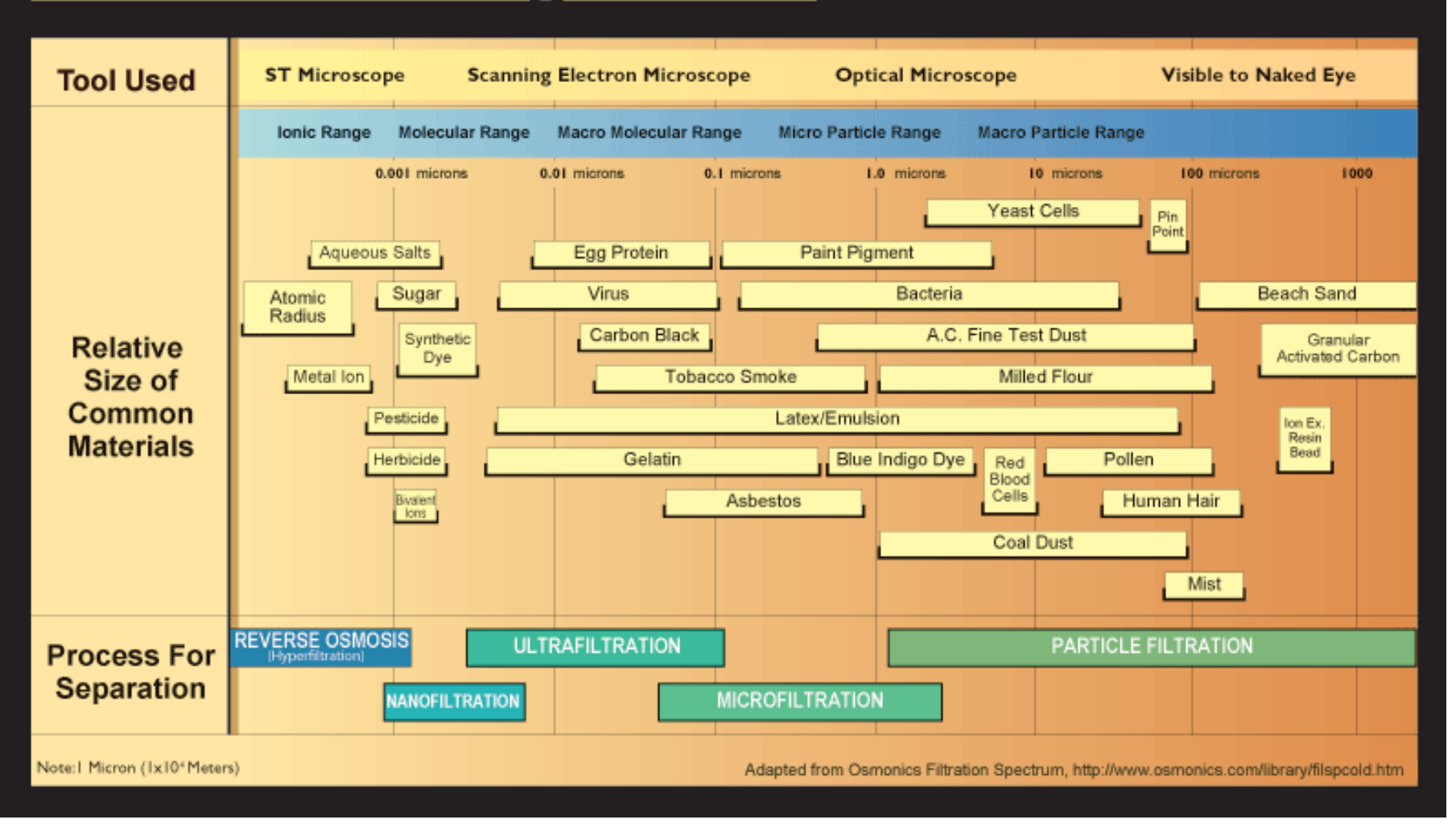


Nanofiltration d'eau



http://en.wikipedia.org/wiki/water_crisis

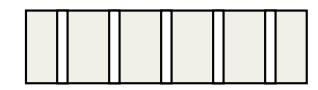
The Filtration Spectrum



Source: Adapted from http://http://www.sasconsulting.ca/Files/ Spectrum.jpg

Problème à resoudre

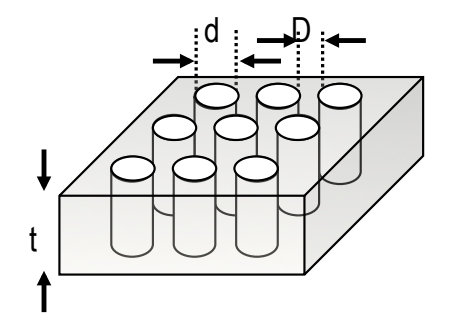
Good separation efficiency
low permeate
Good membrane stability
High force on membrane



Poor separation efficiency

high permeate Good membrane stability Low force on membrane





Good separation efficiency high throughput low membrane stability high force on membrane



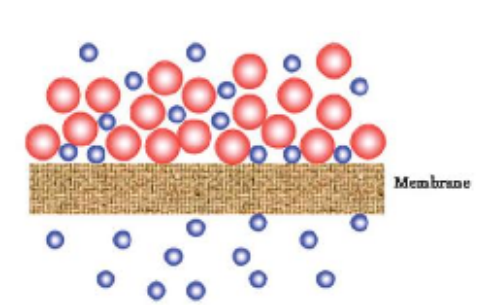
Good separation efficiency high permeate Good membrane stability **High force on membrane**

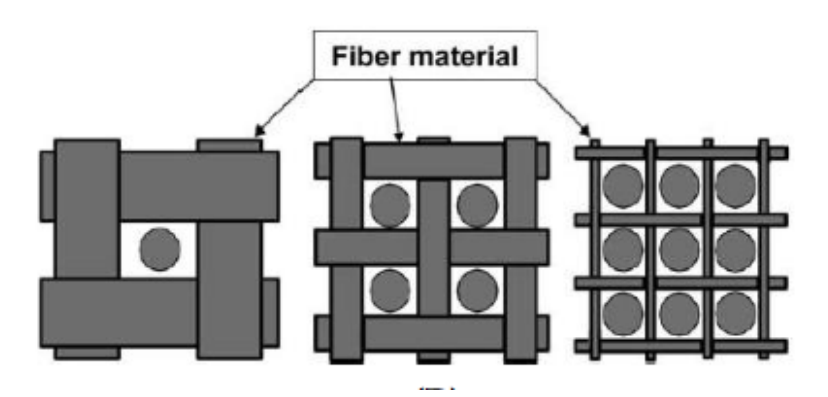


Good separation efficiency

Highest permeate
low membrane stability
reduced force on membrane

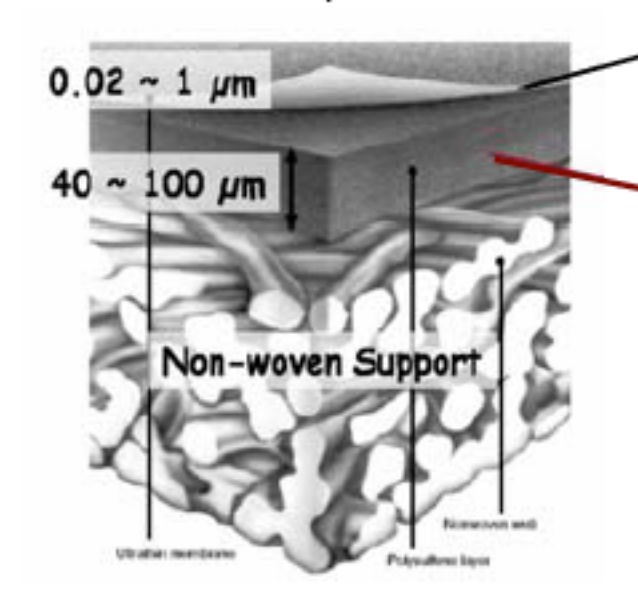






1. Composite membranes with conventional and E-spun support

Conventional composite membranes



Top coating layer (next slides) Flow rate/area is increased

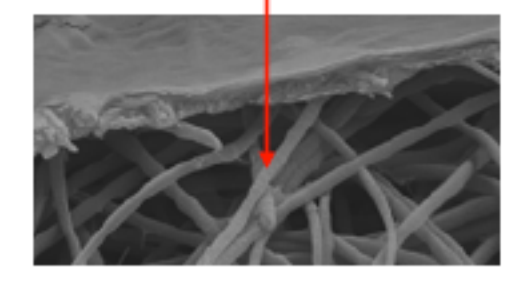
Due to higher

surface pore density

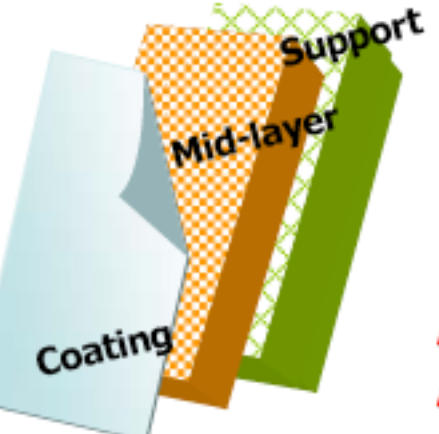
1. Mid-layer Support

- Conventional mid-layer support
- 2 μm

2. Nano-fibrous mid-layer support



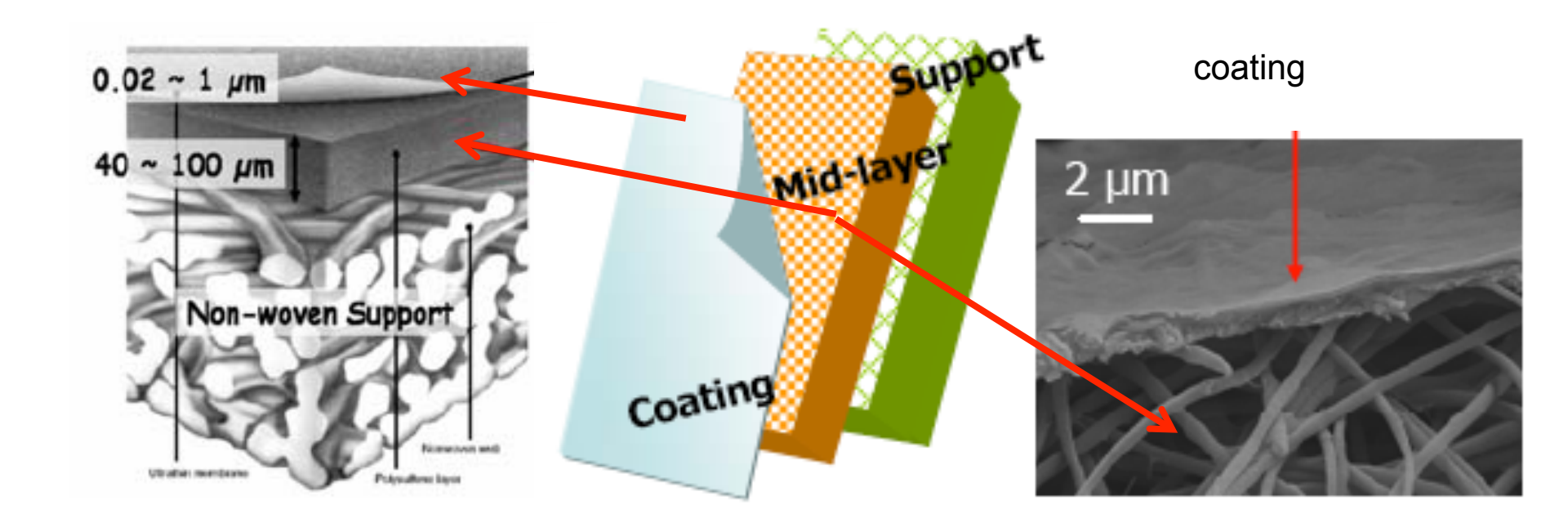
Three-Tier Approach



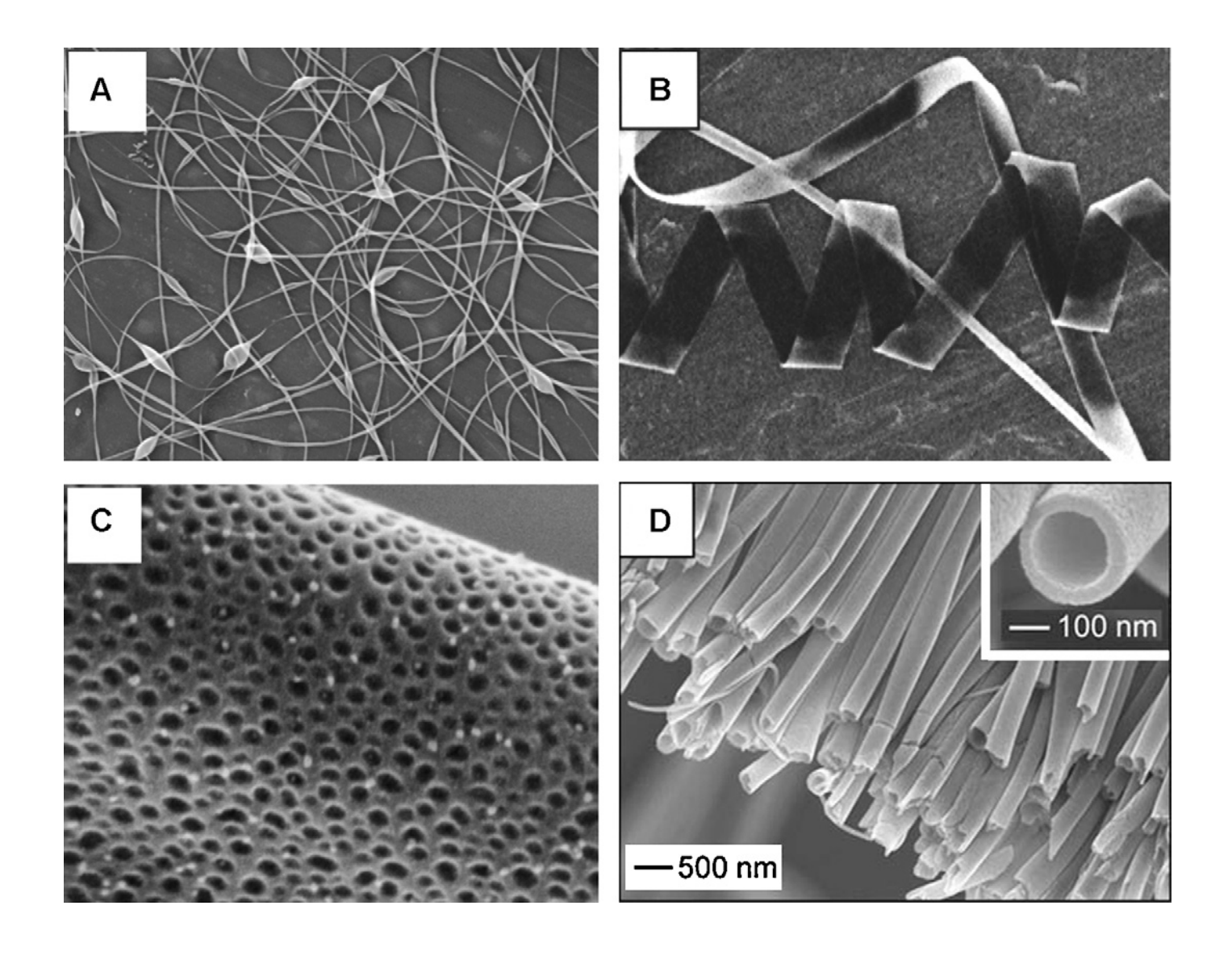
- Higher pore volume
- Much higher surface pore density

Payoff: up to~5 times increase in filtration efficiency

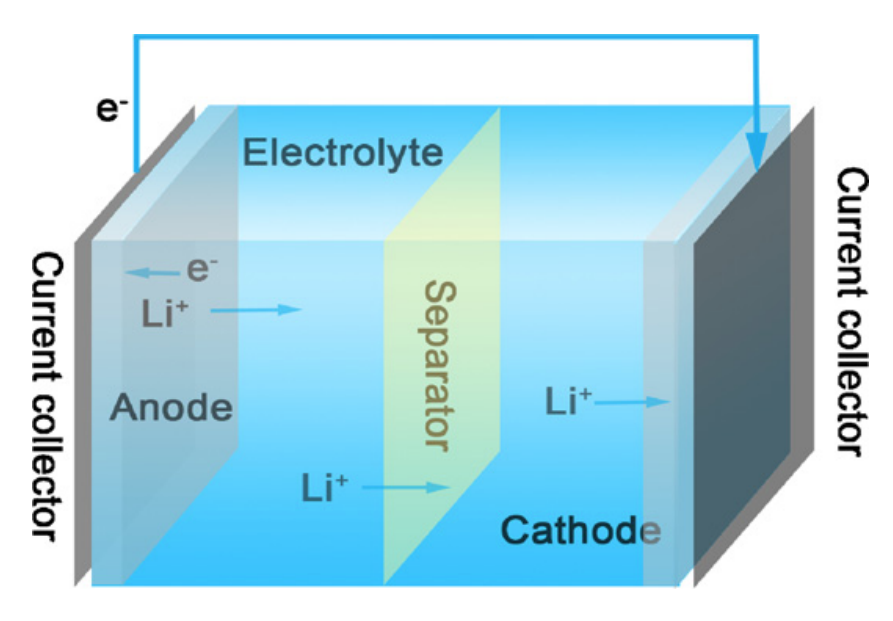




Application pour Li-Batteries

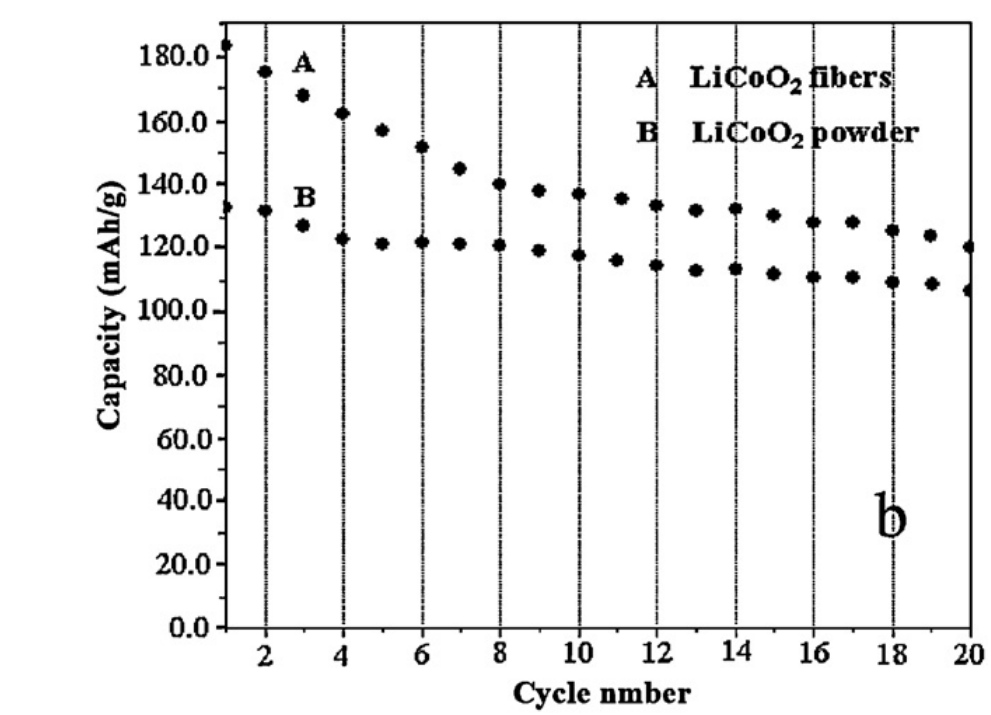


Piles à Lithium

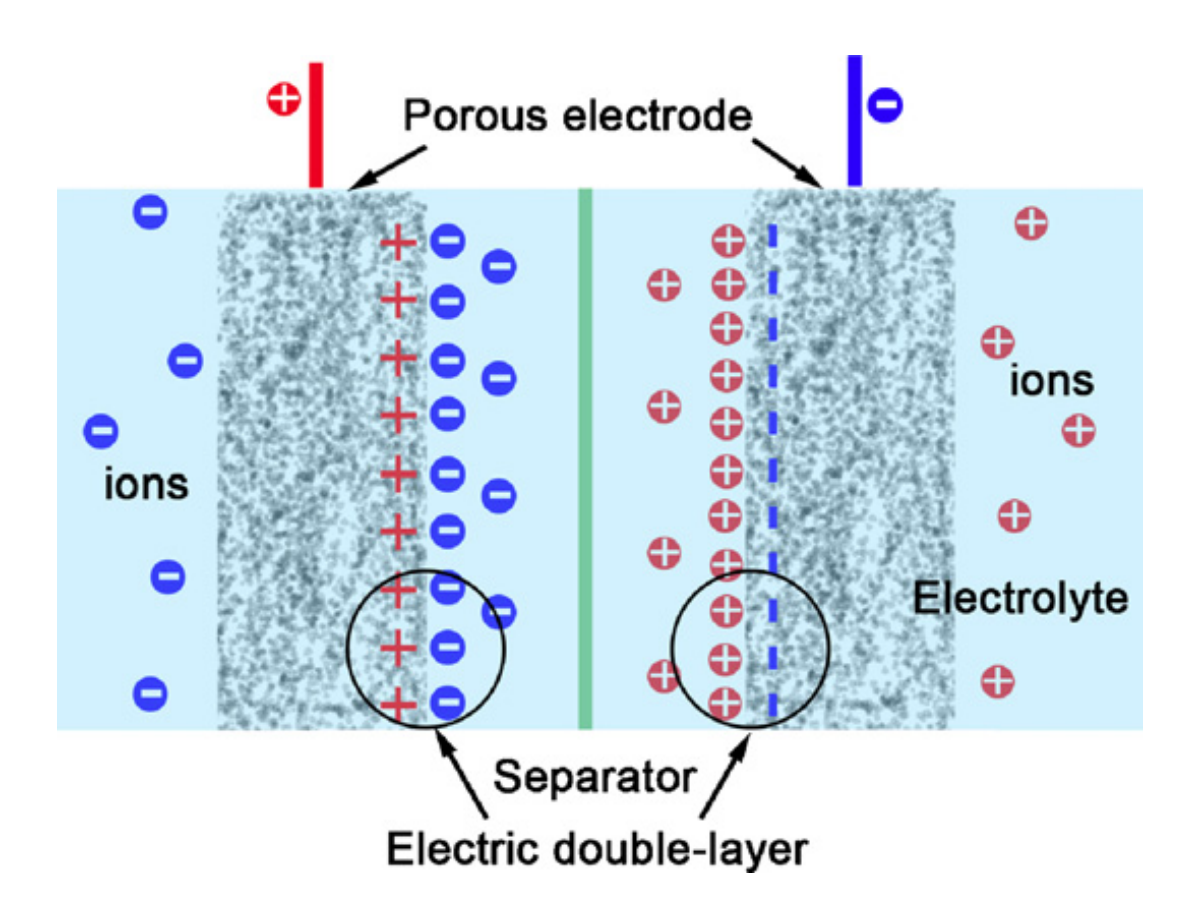


Y.X. Gu, D.R. Chen, M.L. Jiao, J. Phys. Chem. B 109 (2005) 17901–17906

Comparaison de nombres de cycle chargedécharge d'une pile à Lithium avec des électrodes LiCoO₂ avec soit sous forme de poudre (B) ou des fibres par électrospinning / sol-gel.

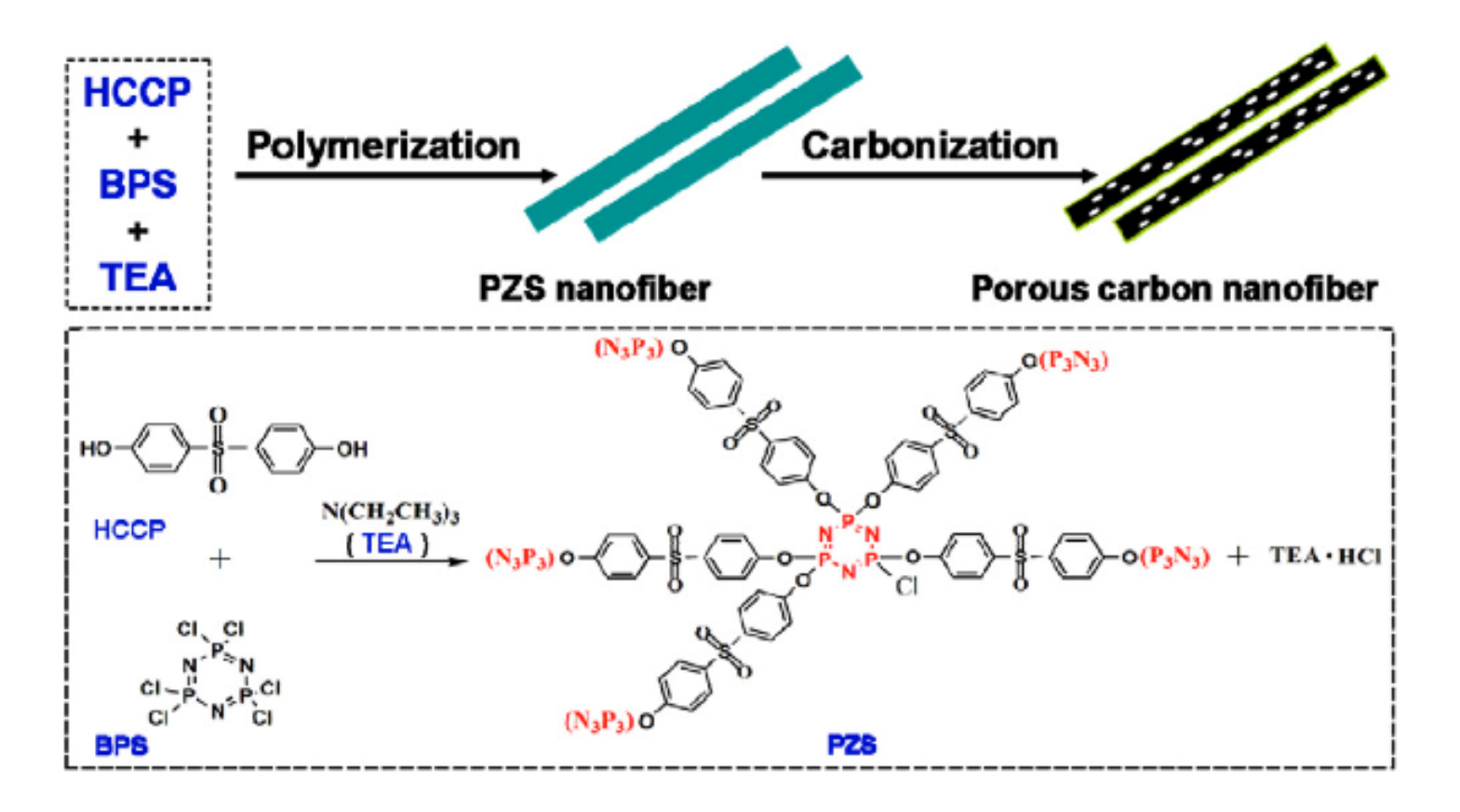


Supercapacité



Potentiel: électrodes en carbone mais en très grande surface

Carbonisation de fibres

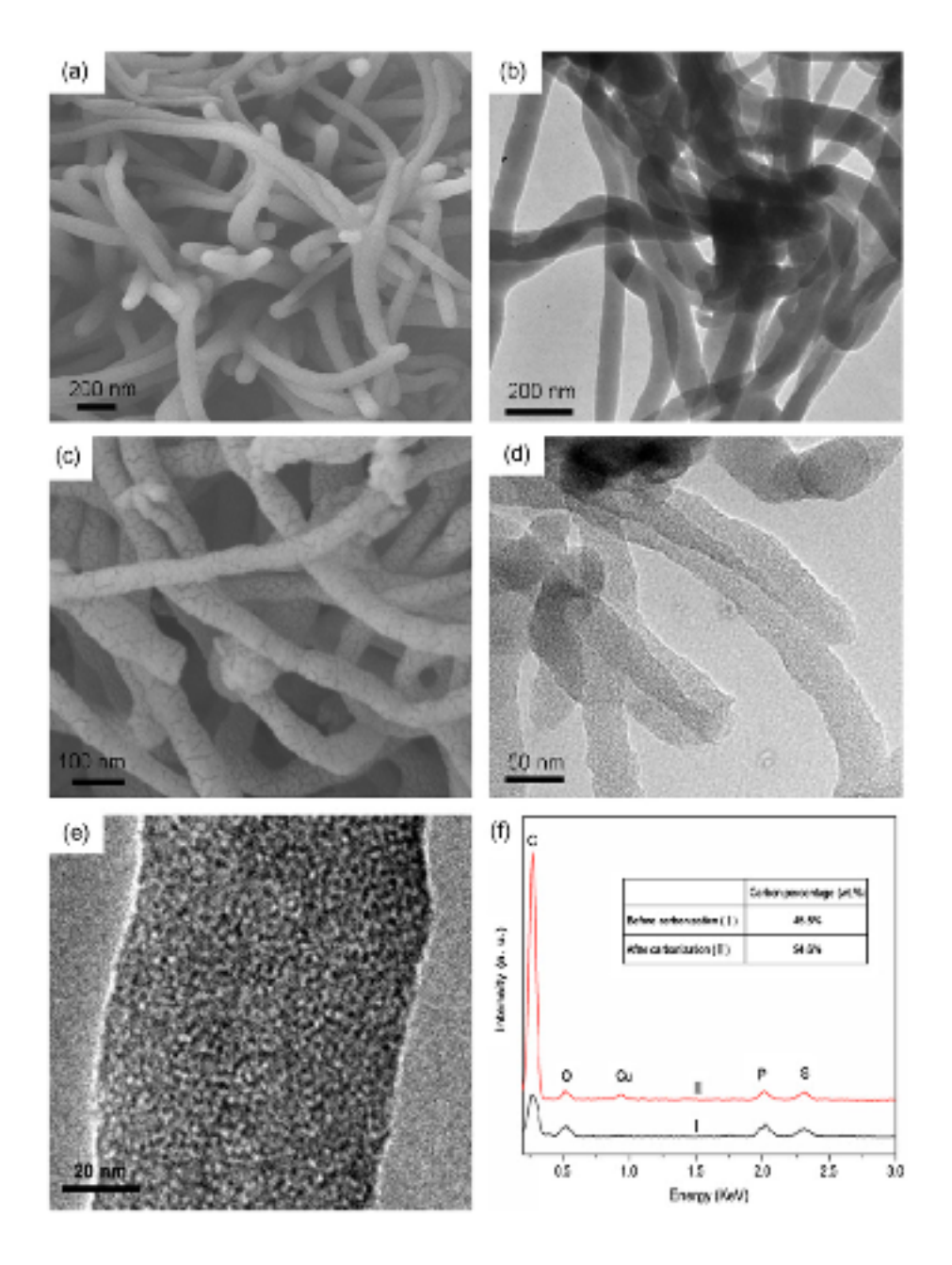


Poly(cyclotriphosphazene-co-4,4 0 sulfonyldiphenol) (PZS)

Mise en forme des électrodes (a, b) poreuses et carbonisation à 900 °C en N₂ (c, d)

surface: 540m² g⁻¹ 0.37m³ g⁻¹,

Jianwei Fu et al. CARBON 49 (2011) 1033 – 1051



conclusion

- La technique de l'électrospinning ouvre de multiples possibilités dans les domaines ou:
- Un grand rapport surface doit être généré
- Différent que les nano-poudres il y a un lien entre les nanostructures
- La grande surface peut être activé pendant le « spinning » ou par post-traitement.
- Les domaines en pleine développent sont:
 - La médecine régénérative
 - La nano filtration d'eau
 - Les systèmes de stockage d'énergie.



THE END